

(討17) メスバウアー効果によるマルテンサイトとその焼成しの研究

大阪大学基礎工学部

○藤田英一 井野博満
守屋健

多くの金属の中で、遷移金属のみ (Cu, Ag も含む) が、H, B, C, N, および O の非金属軽元素をかなりの量まで、侵入型に固溶し得る。特に、b.c.c. 型格子では、後三者の原子は、原子半径から考えて好都合な格子間の四面体位置 (Fig. 1 で T と記した位置) よりも、より狭い八面体位置 (O' と記した位置) をえらぶ。またそのためには、母格子は侵入原子のまわりで強い一軸異方性の歪みを生じている。この様な侵入型固溶合金の特徴は、遷移金属の特異な電子構造、すなわち不完全 d 軌道に起因すると考えられてはいるが、その本質は全く判っていない。これを理解するには、侵入原子のまわりでの電子状態の変化、例えば、侵入原子のイオニ化、準位の変化、そのまわりの伝導電子の遮蔽、共有結合性の変化、電子の相関性など、結合の本性を明らかにする必要がある。メスバウラー効果の測定はそのためには有用な手段であると考えられる。また、侵入型固溶合金の中でも、鉄-炭素系は、Fe のメスバウラー効果の測定が容易のことと、かなり多量に C を含んだ ($\sim 6\%$ 程度) オーステナイトを焼入れてマルテンサイトを得れば、その構造は α -Fe と殆んど変わぬ b.c.c. 格子の中の八面体位置に C を含んでいるので、上の研究の目的には好都合である。殊にマルテンサイトは強磁性なので、後で示す様に、核準位のセーマン分裂が生じ、メスバウラー効果の精密な観測に適している。

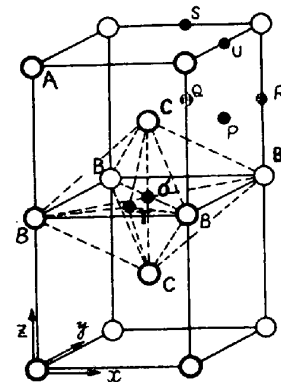
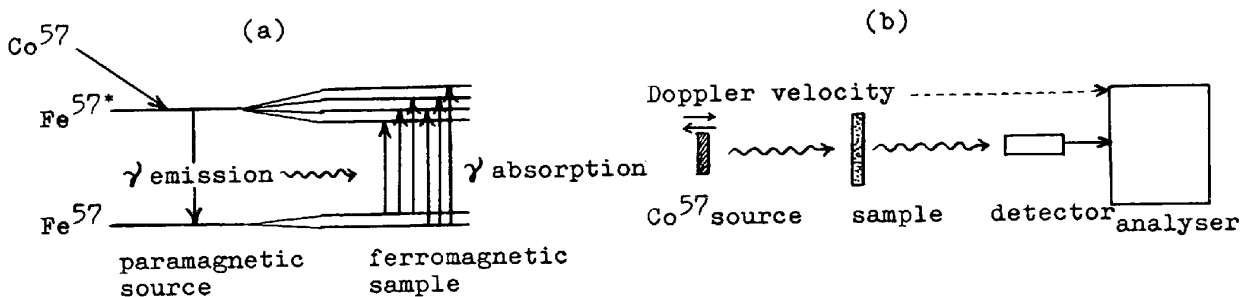


Fig.1 Octahedral and tetrahedral interstitial site in b.c.c.lattice

上の結合の本性の問題以外に、マルテンサイトに固有な問題、例えば、C の配置の規則化 (Fig. 1 の O', R, 等の軸方向だけに強い変位を与えた位置だけに入ること) とそのまわりの Fe 配置の緩和とが、格子全体としての正方歪とどう関係しているか? マルテンサイト中の格子欠陥の状態、焼成しにおいて次々に生じる相変化 (析出過程)、全ての微視的な理解を必要とし乍ら、なおまた実用 (材料強度など) と密接な深い問題がある。これらについても、メスバウラー効果の測定は非常に有効であることが判った (たゞし、転位、結晶境界、積層欠陥などとはまだ結びつかない)。

Fig.2 Nuclear levels of Fe^{57*} and Fe^{57} and transitions among them (a), and an arrangement for Mössbauer effect measurement (b).

この研究は、以上諸問題に対して、全く新らしい情報を注入して、原子的・電子的立場のうり解説を与えたために、メスバウアー効果を役立てようとするもつて、まだ実験は開始されたばかりであるが、将来性の大きいことも判り、今までにはくつかの新しい結果が得られたので報告する。

最初に、メスバウアー効果の測定原理を鉄や鉄合金の場合について簡単に説明する。同位元素 Co^{57} は崩壊して Fe^{57*} (励起状態) を経て Fe^{57} に変換するが、後者段階では 14.4 keV の γ 線が放出される。これを適当な固体内で行わせると、無反跳の錫の特性線として観測することができた。Fig. 2 (a) の左側にそれを示す。一方、試料の鉄の中にも Fe^{57} は存在し、特に相が強磁性の時には、その横準位は強い内部磁場によって、(a) 図の右側の様に Fe^{57} 基底状態が 2 本、 Fe^{57*} 励起準位が 4 本に、ゼーマン分裂を生じ、それらの間には 6 本の遷移が可能となる。そこで Fig. 2 (b) のように、 Co^{57} を含む線源のうり 14.4 keV の γ 線を、線源の移動によって、ドアラー変位させながら (エネルギーの変化量を、例えば 6 本の遷移をカバーする範囲で変える)，試料にあてる。そつ中で Fe^{57} の可能な 6 本の励起に相当して、ドアラー速度の幅にわたって、6 本の錫の吸収線が得られる。試料が常磁性ならばゼーマン効果はなく、1 本の吸収線しか現れない。こゝスペクトルは試料を通過した γ 線を計数管にうけ、ドアラー速度変調と同期させたエネルギー解析を行うことにより書き出すことができる。こゝスペクトルは、吸収体の Fe^{57} が受けた結晶内部磁場、主として S 電子の与える電場、まわりから電場勾場 (核四重極能率を与える) を忠実に反映しているので、いろいろな電子状態におかれれた Fe^{57} 原子を状態に応じて、分離観

測することができる。Fig. 3 のやつ大きな 6 本の吸収ピークとそつ用図が多く、変化は、上り説明の好例である。

さて、試料として、0.7 ~ 1% にわたる C 含有量の鉄とオーステナイト領域から焼入れして、マルテンサイトにした薄い板を使い、常温でメスバウアー効果

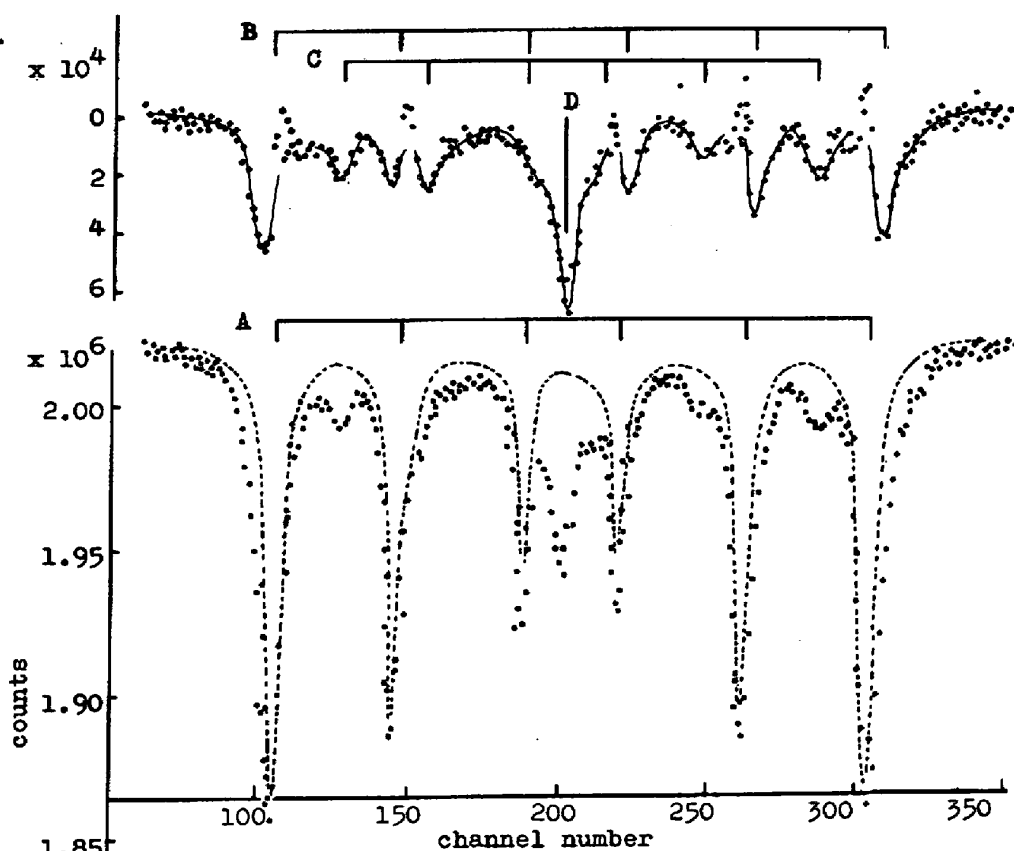


Fig. 3 A Mössbauer spectrum of iron-carbon martensite (lower), and its nearest-Fe components (upper part).

を測った一例が Fig. 3 のスペクトル（下の部分の測定点）である。比較のために、真線で純鉄のスペクトルを示してある。マルテンサイトに関して特徴的なことは、主な 6 本のピークは純鉄とそれと大差はないが、中間にいくつかの小さなピークがあり、また主たるピークは純鉄に較べて、それそれ外側に大きく裾を引いている。主たるピークをなすスペクトル成分を A とし、それ以外をもつて解析分離したものと Fig. 3 の上の部分に示す。中央のピークは常磁性の残留オーステナイトの吸収分で（これを D 成分とする）、別として、そつ残りは 12 本のピークから成り、解析により、それらは 6 本が B 成分と C 成分に分けることができる。B と C の大きさは炭素量に比例し、しかも全吸収量に対して、炭素原子濃度はそれ 4 および 2 倍になっているので、Fig. 1 から判るように、C は 2 個の最隣接 Fe 原子（侵入原子に対して）、B は 4 個のオニ隣接 Fe 原子、すな A はオニ隣接以遠の Fe 原子（ただし、それらの中の Fe^{57} のみ）による吸収スペクトルと同定してよいであろう。各スペクトル成分から得られた内部磁場 (H_i)、アイソマーゼシフト (δ)、核四重極能率 (ϵ) 等のデータを下の表にまとめた。

これらから次のようなことが明らかになった。

- C 原子に対する最隣接 Fe のみが電子状態を大に変えていた。特に磁気モーメントの大さき減少は結合（共有結合性も含む）に最も関与している。3d 電子が C 原子との隣接によって状態を大きく変えていたことを示しているので、両者の間のかなり積極的な結合状態が予想される（例えば hybridization）。
- 距離と内部磁場の大さきとの関係は一見、振動的で、金属結合における不純物置換原子や原子空孔など、真欠陥つまりの電子遮蔽の Friedel 振動も考えられる。A スペクトルは純鉄の状態とあまり変わらないので、遮蔽は短範囲である。
- 上の最後の事実は格子歪みも極めて局所的で、平均的な正方歪みと云っても、マルテンサイトの中の C 原子つまりの Fe 原子の変位は α -Fe 格子中の C 原子つまりと全く同等と考えてよいことを示している。

	H_i (kOe)	δ (mm/sec)	ϵ (mm/sec)	intensity
Fe-C Martensite A	332 ± 1	$.18 \pm .03$	$.00 \pm .03$	about 74%
	342 ± 5	$.20 \pm .2$	$.01 \pm .2$	about 17
	265 ± 3	$.12 \pm .1$	$.13 \pm .1$	9 ~ 11
Fe-C Austenite	-	$.05 \pm .05$	-	
Precipitates($160^\circ C$)	-	-	-	
Precipitates($280^\circ C$)	202 ± 3	$.23 \pm .2$	$.05 \pm .2$	
Fe_3C Cementite($520^\circ C$)	208 ± 2	$.33 \pm .05$	$.01 \pm .05$	
Pure Fe (reference)	330	.15	0	

以上他に、表の下半分に示したように焼成しつ実験を行ひ、最初の六方晶と云われた析出相はマルテンサイトと極めて類似した電子構造を持ち、（従って格子整合もよい）次に單斜晶と云われた χ 相が認められたが、これは後つセメントタイト析出相と殆んど同じ結合状態であることが判った。焼成し過程は従つて明白になった。